

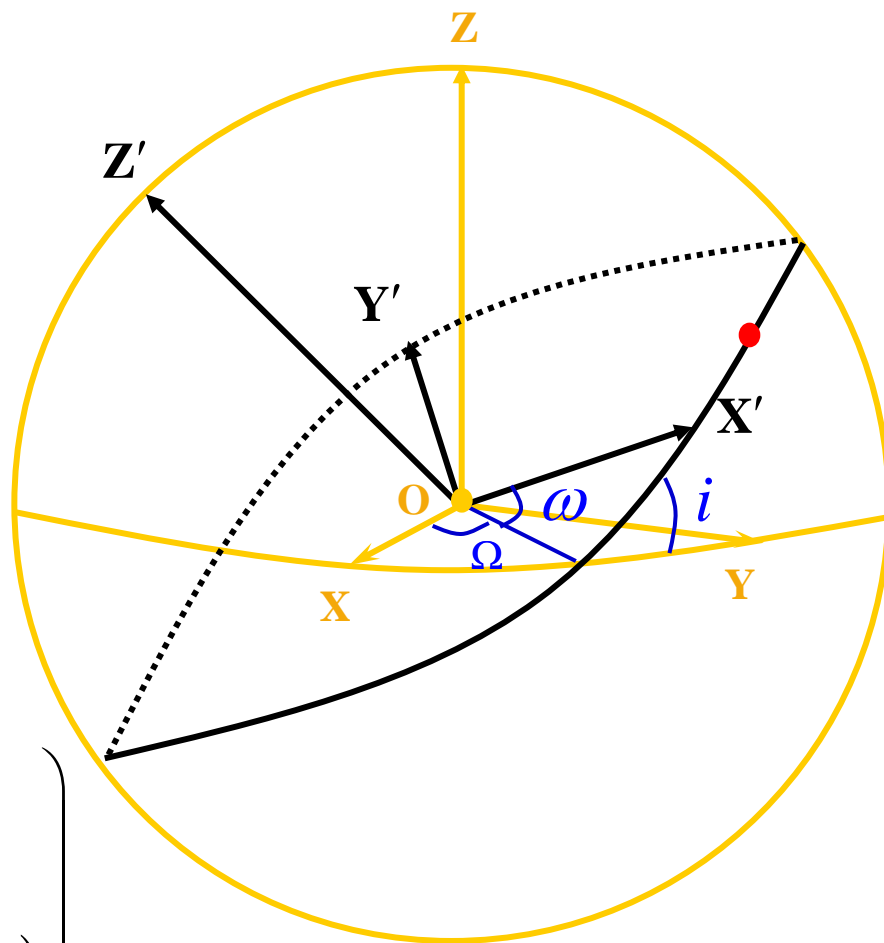
2.3.1 空间固定坐标系中的二体轨道

以某一时刻两个天体中的一个 m_1 作为原点 O 的某参考系 O - XYZ 是固定参考系, OX 指向空间中的某一固定点. O - $X'Y'$ 是二体运动的不变平面, OX' 指向轨道的近点. 两个坐标系之间的关系由3个角度 Ω (升交点经度), ω (近点角距), i (轨道倾角) 确定.

天体 m_2 在坐标系 O - $X'Y'Z'$ 中的位置 \mathbf{r} 及速度 $\dot{\mathbf{r}}$ 分别由下式给出:

$$\mathbf{r} = \begin{pmatrix} r \cos f \\ r \sin f \\ 0 \end{pmatrix} \quad \dot{\mathbf{r}} = \begin{pmatrix} -\frac{h}{p} \sin f \\ \frac{h}{p} (e + \cos f) \\ 0 \end{pmatrix}$$

$r^2 \dot{f} = h = \sqrt{\mu p}$



该表达式对椭圆、抛物线、双曲线轨道都适用.

2.3.1 空间固定坐标系中的二体轨道

若要将参考系**O-X'Y'Z'**中的轨道表达转换到固定参考系**O-XYZ**中,需执行以下操作:

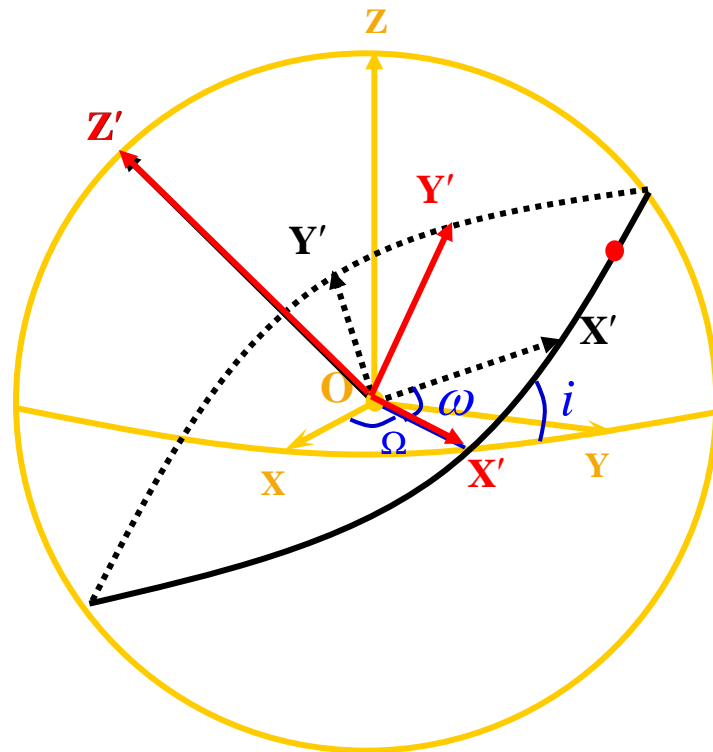
1. 以**OZ'**为轴, 反向旋转 ω 角度

该操作数学表达式是:

$$\begin{pmatrix} x \\ y \\ z \end{pmatrix} = \begin{pmatrix} \cos \theta & \sin \theta & 0 \\ -\sin \theta & \cos \theta & 0 \\ 0 & 0 & 1 \end{pmatrix} \begin{pmatrix} x \\ y \\ z \end{pmatrix}$$

$$= \mathbf{R}_z(\theta) \begin{pmatrix} x \\ y \\ z \end{pmatrix}$$

$$\theta = -\omega$$



2.3.1 空间固定坐标系中的二体轨道

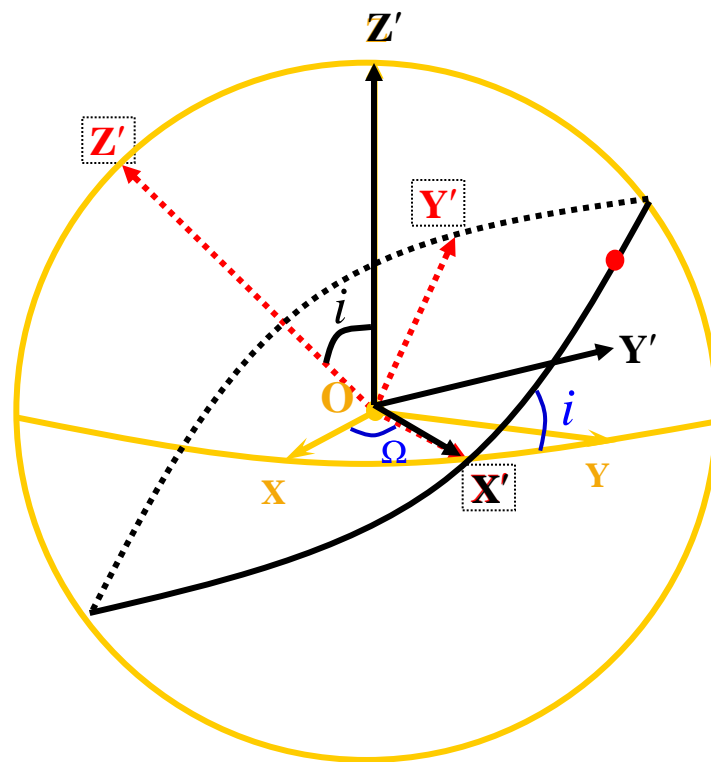
若要将参考系 $\mathbf{O}-\mathbf{X}'\mathbf{Y}'\mathbf{Z}'$ 中的轨道表达转换到固定参考系 $\mathbf{O}-\mathbf{XYZ}$ 中,需执行以下操作:

- ~~1. 以 \mathbf{OZ}' 为轴, 反向旋转 ω 角度;~~
2. 以 \mathbf{OX}' 为轴, 反向旋转 i 角度

该操作数学表达式是:

$$\begin{pmatrix} x \\ y \\ z \end{pmatrix} = \begin{pmatrix} 1 & 0 & 0 \\ 0 & \cos \theta & \sin \theta \\ 0 & -\sin \theta & \cos \theta \end{pmatrix} \begin{pmatrix} x' \\ y' \\ z' \end{pmatrix}$$
$$= \mathbf{R}_x(\theta) \begin{pmatrix} x' \\ y' \\ z' \end{pmatrix}$$

$\theta = -i$



2.3.1 空间固定坐标系中的二体轨道

将参考系 $\mathbf{O}-\mathbf{X}'\mathbf{Y}'\mathbf{Z}'$ 转换到 $\mathbf{O}-\mathbf{XYZ}$:

- ~~1. 以 \mathbf{OZ}' 为轴，反向旋转 ω 角度；~~
- ~~2. 以 \mathbf{OX}' 为轴，反向旋转 i 角度~~
3. 以 \mathbf{OZ}' 为轴，反向旋转 Ω 角度

该操作数学表达式是：

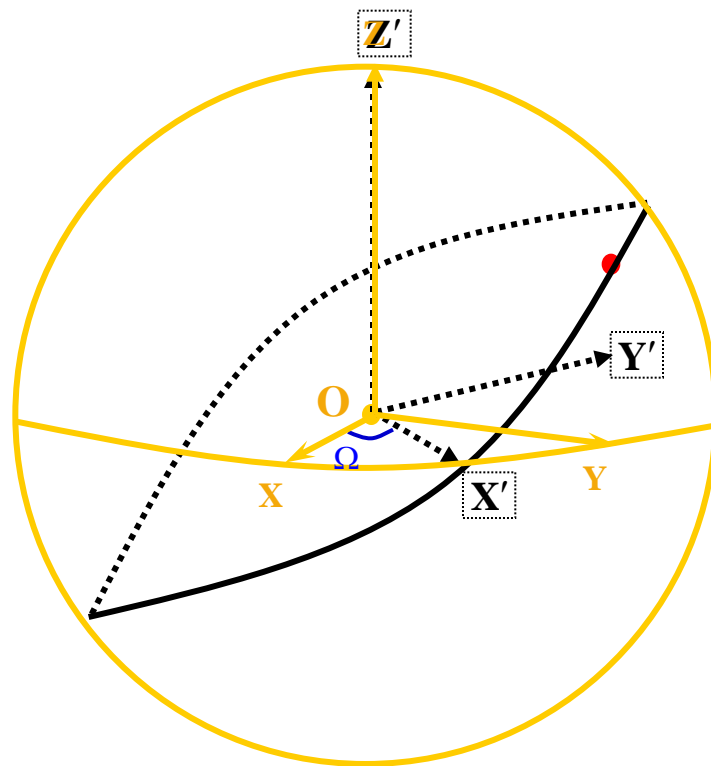
$$\begin{pmatrix} x \\ y \\ z \end{pmatrix} = \begin{pmatrix} \cos \theta & -\sin \theta & 0 \\ \sin \theta & \cos \theta & 0 \\ 0 & 0 & 1 \end{pmatrix} \begin{pmatrix} x \\ y \\ z \end{pmatrix}$$

$$= \mathbf{R}_z(\theta) \begin{pmatrix} x \\ y \\ z \end{pmatrix}$$

$$\theta = -\Omega$$

另外，绕Y轴旋转 θ 角的操作是：

$$\begin{pmatrix} x \\ y \\ z \end{pmatrix} = \begin{pmatrix} \cos \theta & 0 & -\sin \theta \\ 0 & 1 & 0 \\ \sin \theta & 0 & \cos \theta \end{pmatrix} \begin{pmatrix} x \\ y \\ z \end{pmatrix} = \mathbf{R}_y(\theta) \begin{pmatrix} x \\ y \\ z \end{pmatrix}$$



2.3.1 空间固定坐标系中的二体轨道

最后，可以把整个过程写成：

$$\mathbf{r} = \mathbf{R}_z(-\Omega) \mathbf{R}_x(-i) \mathbf{R}_z(-\omega) \mathbf{r}$$

$$\dot{\mathbf{r}} = \mathbf{R}_z(-\Omega) \mathbf{R}_x(-i) \mathbf{R}_z(-\omega) \dot{\mathbf{r}}$$

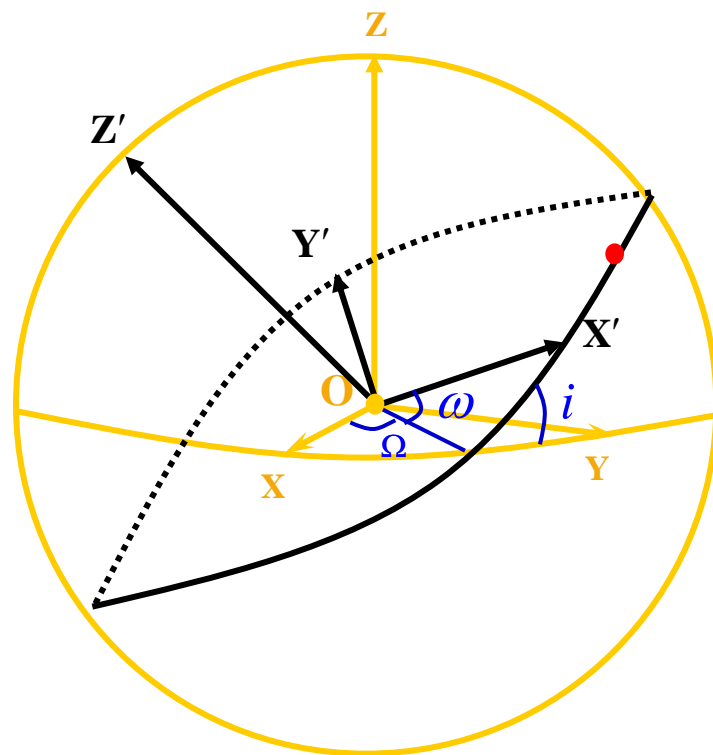
$$\mathbf{r} = (r \cos f, r \sin f, 0)^T, \quad \dot{\mathbf{r}} = \left(-\frac{h}{p} \sin f, \frac{h}{p} (e + \cos f), 0 \right)^T$$

$$\mathbf{r} = r \cos f \mathbf{P} + r \sin f \mathbf{Q}$$

$$\dot{\mathbf{r}} = -\frac{h}{p} \sin f \mathbf{P} + \frac{h}{p} (e + \cos f) \mathbf{Q}$$

$$\mathbf{R}_z(-\Omega) \mathbf{R}_x(-i) \mathbf{R}_z(-\omega)$$

$$= \begin{pmatrix} \cos \Omega \cos \omega - \sin \Omega \sin \omega \cos i & -\cos \Omega \sin \omega - \sin \Omega \cos \omega \cos i & \sin \Omega \sin i \\ \sin \Omega \cos \omega + \cos \Omega \sin \omega \cos i & -\sin \Omega \sin \omega + \cos \Omega \cos \omega \cos i & -\cos \Omega \sin i \\ \sin \omega \sin i & \cos \omega \sin i & \cos i \end{pmatrix} \begin{pmatrix} \mathbf{P} \\ \mathbf{Q} \\ \end{pmatrix}$$



2.3.1 空间固定坐标系中的二体轨道

另一方面, 二体椭圆运动的不变平面由 \mathbf{h} 定义, 它在 $\mathbf{O}-\mathbf{XYZ}$ 中表示为

$$\mathbf{h} = \mathbf{R}_z(-\Omega)\mathbf{R}_x(-i)\mathbf{R}_z(-\omega) \begin{pmatrix} 0 \\ 0 \\ h \end{pmatrix} = \begin{pmatrix} h \sin \Omega \sin i \\ -h \cos \Omega \sin i \\ h \cos i \end{pmatrix}$$

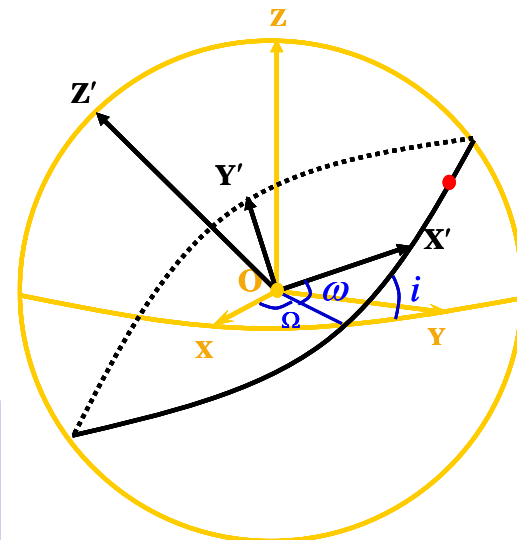
由以上固定坐标系中轨道的表达我们看到, h, f, Ω, ω, i 出现在 $\mathbf{r}, \dot{\mathbf{r}}$ 的表达式中. 而一般地 $h = \sqrt{\mu a(1-e^2)}$, 并且 $f = f(e, M)$ 是 e, M 的函数, 所以椭圆运动的解在空间可以由以下六个参数来表述:

$$a, e, i, \Omega, \omega, M$$

这六个轨道根数分别称为:

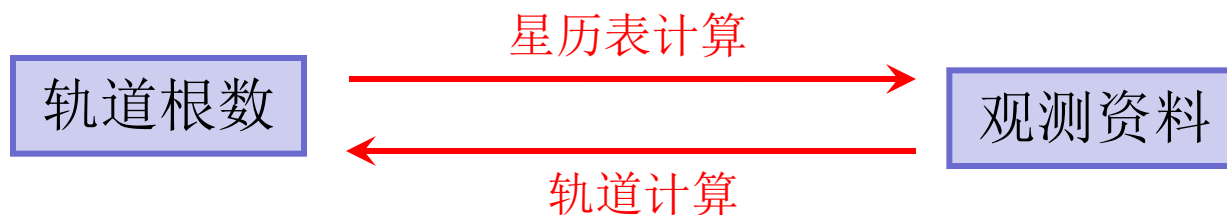
a	轨道半长径	e	轨道偏心率	i	轨道倾角
Ω	升交点经度	ω	近点角距	M	平近点角

i, Ω 决定轨道平面; a, e 决定轨道形状; ω 决定轨道取向;
 M 决定某时刻在轨道上的位置, 仅有 M 中显含时间



2.3.2 轨道计算

利用上述公式，可以从轨道根数出发计算某天体的位置与速度，这一过程称为**星历表计算**。反之，从观测到的天体位置速度数据出发，计算轨道根数的过程则称为**轨道计算**。



在星历表计算时，往往会要用偏近点角计算位置和坐标，我们写出用偏近点角表示的位置和坐标如下

$$\mathbf{r} = a(\cos E - e) \mathbf{P} + a\sqrt{1-e^2} \sin E \mathbf{Q}$$
$$\dot{\mathbf{r}} = -\frac{a^2 n}{r} \sin E \mathbf{P} + \frac{a^2 n}{r} \sqrt{1-e^2} \cos E \mathbf{Q}$$

$$r \cos f = a(\cos E - e)$$
$$r \sin f = b \sin E = a\sqrt{1-e^2} \sin E$$
$$\dot{E} = \frac{n}{1-e \cos E}$$

2.3.2 轨道计算

轨道计算 已知 $\mathbf{r}, \dot{\mathbf{r}}$, 计算轨道根数

$$r^2 = x^2 + y^2 + z^2$$

$$v^2 = \dot{x}^2 + \dot{y}^2 + \dot{z}^2$$

$$\mathbf{r} \cdot \dot{\mathbf{r}} = x\dot{x} + y\dot{y} + z\dot{z}$$

$$\mathbf{h} = (y\dot{z} - z\dot{y}, z\dot{x} - x\dot{z}, x\dot{y} - y\dot{x})^T = (h_x, h_y, h_z)^T$$

$$\dot{r} = \pm \sqrt{v^2 - \frac{h^2}{r^2}}$$

1. 计算 a

$$a = \left(\frac{2}{r} - \frac{v^2}{\mu} \right)^{-1}$$

$$v^2 = \mu \left(\frac{2}{r} - \frac{1}{a} \right), \text{由 } a \text{ 还可以得到 } n$$

2.3.2 轨道计算

2. 计算 e

$$e = \sqrt{1 - \frac{h^2}{\mu a}}$$

$$h = \sqrt{\mu a (1 - e^2)}$$

3. 计算 i

$$i = \cos^{-1} \left(\frac{h_z}{h} \right)$$

$$\cos i = \frac{h_z}{h}$$

4. 计算 Ω

$$\Omega = \tan^{-1} \left(\frac{h_x}{h_y} \right)$$

$$\tan \Omega = \frac{h_x}{h_y}, \Omega \in [0, 360^\circ)$$

5. 计算 E

$$e \cos E = 1 - \frac{r}{a}, \quad e \sin E = \frac{\mathbf{r} \cdot \dot{\mathbf{r}}}{na^2}$$

$$r = a(1 - e \cos E), \quad \mathbf{r} \cdot \dot{\mathbf{r}} = na^2 e \sin E$$

由Kepler方程可计算 M

2.3.2 轨道计算

6. 计算 ω

$$\sin f = \frac{a(1-e^2)\dot{r}}{he}, \cos f = \frac{1}{e} \left[\frac{a(1-e^2)}{r} - 1 \right]$$

$$r = \frac{a(1-e^2)}{1+e\cos f}, \dot{r} = \frac{he\sin f}{a(1-e^2)}$$

$$\sin(\omega + f) = \frac{z}{r \sin i}, \cos(\omega + f) = \sec \Omega \left[\frac{x}{r} + \sin \Omega \sin(\omega + f) \cos i \right]$$

计算各轨道根数可以有其他的过程及公式。

2.3.2 轨道计算

偏心率向量 \mathbf{e}

因为

$$\mathbf{h} = \mathbf{r} \times \dot{\mathbf{r}}, \quad \ddot{\mathbf{r}} = -\frac{\mu}{r^3} \mathbf{r}$$

$$\begin{aligned} (\mathbf{A} \times \mathbf{B}) \times \mathbf{C} &= \mathbf{B}(\mathbf{A} \cdot \mathbf{C}) - \mathbf{A}(\mathbf{B} \cdot \mathbf{C}) \\ \mathbf{A} \times (\mathbf{B} \times \mathbf{C}) &= \mathbf{B}(\mathbf{A} \cdot \mathbf{C}) - \mathbf{C}(\mathbf{A} \cdot \mathbf{B}) \end{aligned}$$

$$\mathbf{h} \times \ddot{\mathbf{r}} = (\mathbf{r} \times \dot{\mathbf{r}}) \times \left(-\frac{\mu}{r^3} \mathbf{r} \right) = -\mu \left(\frac{\dot{\mathbf{r}}}{r} - \frac{\dot{r}}{r^2} \mathbf{r} \right) = \frac{d}{dt} \left(-\mu \frac{\mathbf{r}}{r} \right)$$

$$\mathbf{h} \times \ddot{\mathbf{r}} = \frac{d}{dt} (\mathbf{h} \times \dot{\mathbf{r}})$$

所以:

$$\frac{d}{dt} \left(\mathbf{h} \times \dot{\mathbf{r}} + \mu \frac{\mathbf{r}}{r} \right) = 0$$

定义常向量 \mathbf{e} :

$$\mathbf{h} \times \dot{\mathbf{r}} + \mu \frac{\mathbf{r}}{r} = -\mu \mathbf{e}$$

一个积分不变量

可以证明, \mathbf{e} 的方向即为近日点方向, \mathbf{e} 的大小即为偏心率.

2.3.3 质心坐标系中的二体轨道

质心系下的坐标：

$$\mathbf{r}_1 = -\frac{m_2}{m_1 + m_2} \mathbf{r}$$

$$\mathbf{r}_2 = +\frac{m_1}{m_1 + m_2} \mathbf{r}$$

质心系下的运动方程：

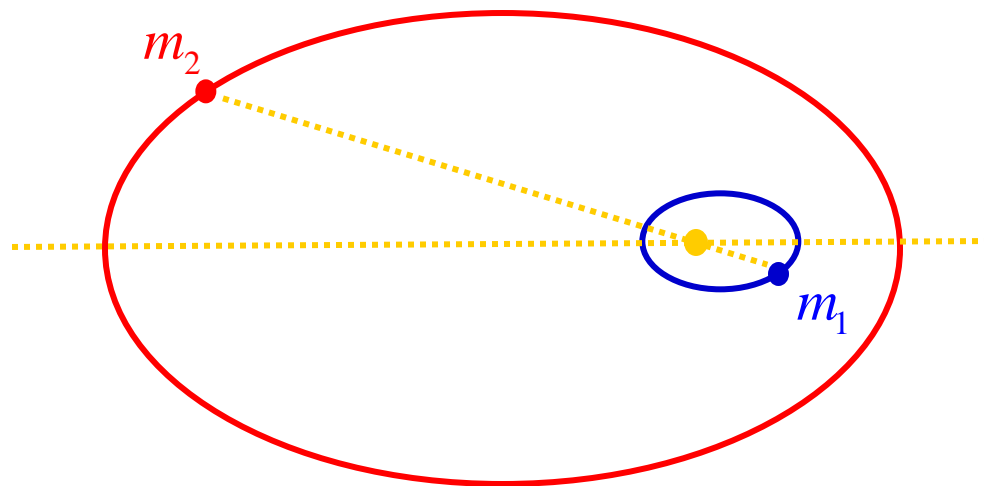
$$m_1 \ddot{\mathbf{r}}_1 = +\frac{Gm_1 m_2}{r^3} \mathbf{r}$$

$$m_2 \ddot{\mathbf{r}}_2 = -\frac{Gm_1 m_2}{r^3} \mathbf{r}$$

即：

$$\ddot{\mathbf{r}}_1 = -\left(\frac{m_2}{m_1 + m_2}\right)^3 \frac{\mu}{r_1^3} \mathbf{r}_1, \quad \ddot{\mathbf{r}}_2 = -\left(\frac{m_1}{m_1 + m_2}\right)^3 \frac{\mu}{r_2^3} \mathbf{r}_2$$

$\mathbf{r}_1, \mathbf{r}_2$ 的轨道形状即为 \mathbf{r} 的轨道形状
 $\mathbf{r}_1, \mathbf{r}_2$ 的轨道周期即为 \mathbf{r} 的轨道周期



相对运动： $\ddot{\mathbf{r}} = -\frac{\mu}{r^3} \mathbf{r}$

2.3.3 质心坐标系中的二体轨道

与解相对运动方程类似，得到这两个方程的解为：

$$r_1 = \frac{a_1(1-e_1^2)}{1+e_1\cos(\theta_1-\omega_1)}, \quad r_2 = \frac{a_2(1-e_2^2)}{1+e_2\cos(\theta_2-\omega_2)}$$

与 $r = \frac{a(1-e^2)}{1+e\cos(\theta-\omega)}$ 比较并考虑到求解过程，有

$$e_1 = e_2 = e,$$

$$a_1 = \frac{m_2}{m_1+m_2}a, \quad a_2 = \frac{m_1}{m_1+m_2}a$$

因为 r_1, r_2 始终同时达到极大与极小，
所以两个轨道的方向必然相差 π ，即

$$\omega_1 = \omega, \quad \omega_2 = \pi + \omega$$

$$\theta_1 = \theta, \quad \theta_2 = \pi + \theta$$

$$r_{1\min} = \frac{m_2}{m_1+m_2}r_{\min}, \quad r_{1\max} = \frac{m_2}{m_1+m_2}r_{\max}$$

$$a_1(1-e_1) = \frac{m_2}{m_1+m_2}a(1-e)$$

$$a_1(1+e_1) = \frac{m_2}{m_1+m_2}a(1+e)$$

$$\frac{1-e_1}{1+e_1} = \frac{1-e}{1+e} \Rightarrow e_1 = e$$

2.3.3 质心坐标系中的二体轨道

质心系中的角动量

$$H_1 = m_1 r_1^2 \dot{\theta}_1 = m_1 \left(\frac{m_2}{m_1 + m_2} \right)^2 r^2 \dot{\theta} = m_1 \left(\frac{m_2}{m_1 + m_2} \right)^2 h$$

方向同 \mathbf{h} 的方向

$$H_2 = m_2 r_2^2 \dot{\theta}_2 = m_2 \left(\frac{m_1}{m_1 + m_2} \right)^2 r^2 \dot{\theta} = m_2 \left(\frac{m_1}{m_1 + m_2} \right)^2 h$$

总角动量

$$\mathbf{H}^* = \mathbf{H}_1 + \mathbf{H}_2 = \frac{m_1 m_2}{m_1 + m_2} \mathbf{h}$$

$$h = \left(\frac{1}{m_1} + \frac{1}{m_2} \right) H^*$$

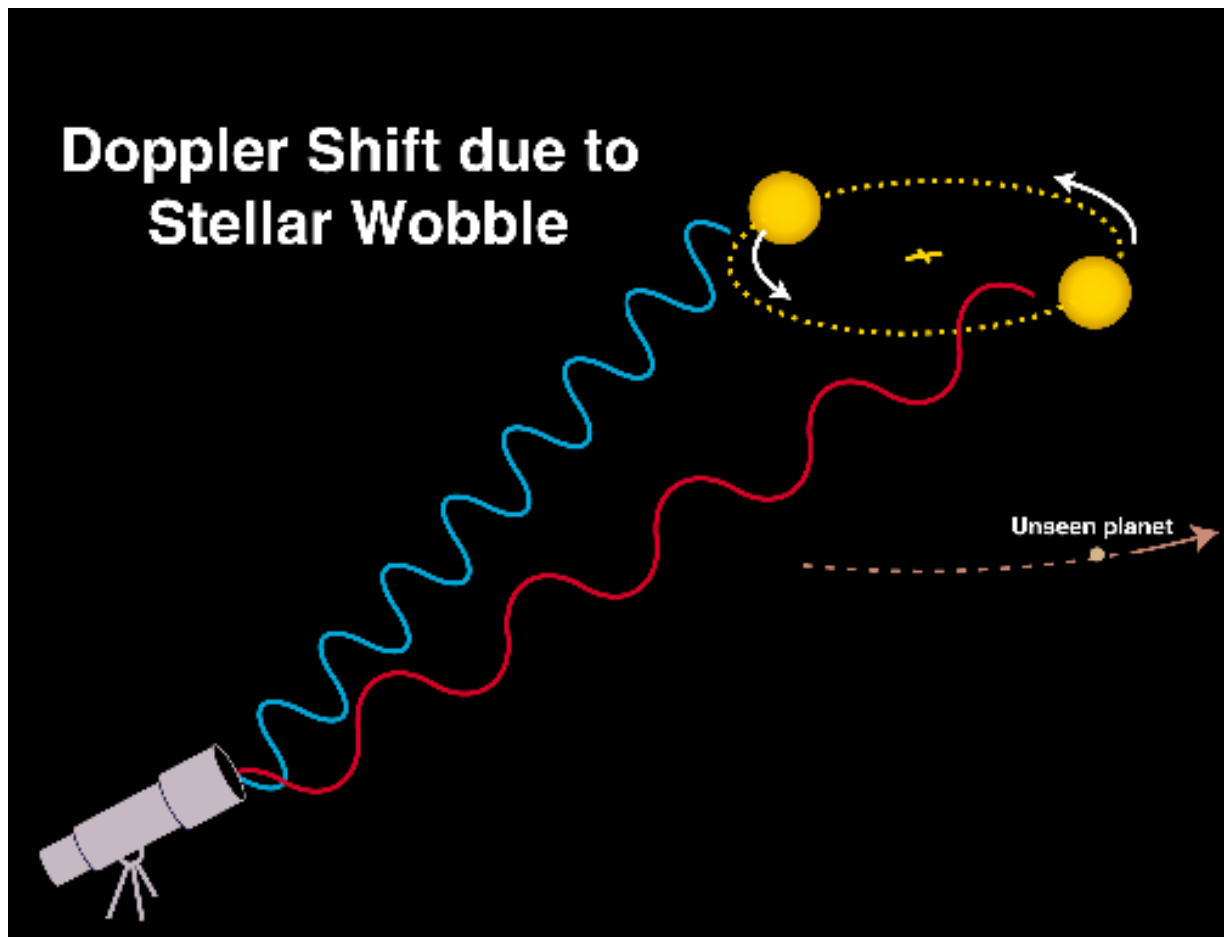
二体的总能量:

$$\begin{aligned} E^* &= \frac{1}{2} m_1 v_1^2 + \frac{1}{2} m_2 v_2^2 - \frac{G m_1 m_2}{r} \\ &= \frac{1}{2} m_1 (\dot{r}_1^2 + r_1^2 \dot{\theta}_1^2) + \frac{1}{2} m_2 (\dot{r}_2^2 + r_2^2 \dot{\theta}_2^2) - \frac{G m_1 m_2}{r} \\ &= \frac{m_1 m_2}{m_1 + m_2} C = -\frac{G m_1 m_2}{2a} \end{aligned}$$

$$C = \frac{\mu}{2a} = \left(\frac{1}{m_1} + \frac{1}{m_2} \right) E^*$$

2.3.3 质心坐标系中的二体轨道

行星与中心天体的相互绕转运动将导致二者围绕共同质心的运动，利用二体运动的这一特点，可以发现太阳系外的行星



2.3.3 质心坐标系中的二体轨道

多普勒方法测恒星视向速度

在中心位于恒星的坐标系内，行星的位置和速度分别为

$$\mathbf{r} = r \cos f \mathbf{i} + r \sin f \mathbf{j}, \quad \dot{\mathbf{r}} = -\frac{2\pi a}{T\sqrt{1-e^2}} [\sin f \mathbf{i} - (e + \cos f) \mathbf{j}].$$

位于轨道面上的单位向量 \mathbf{i} , \mathbf{j} 相互垂直且 \mathbf{i} 指向近星点方向.

恒星相对于质心的速度为

$$\mathbf{V} = -\frac{m}{m+M} \frac{2\pi a}{T\sqrt{1-e^2}} [\sin f \mathbf{i} - (e + \cos f) \mathbf{j}]$$

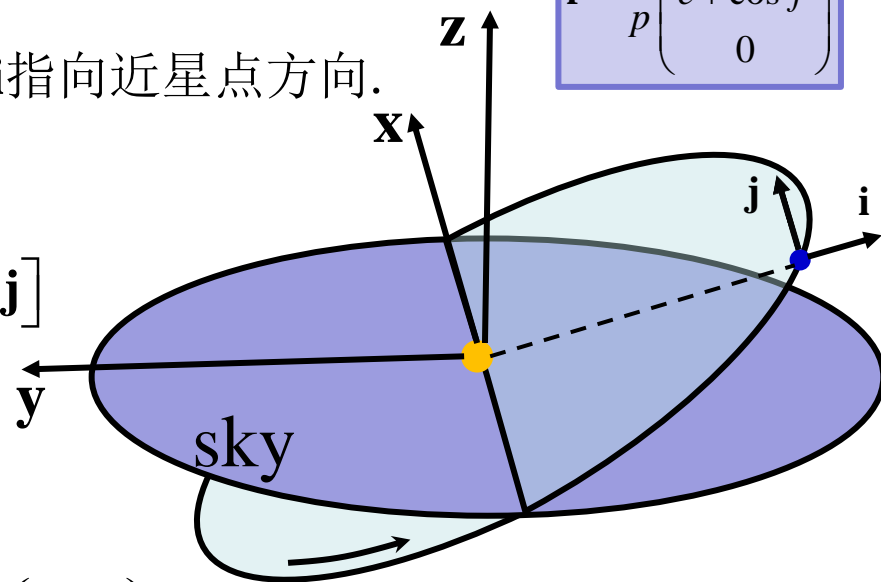
其中 m, M 分别为行星和恒星的质量.

两个坐标系的关系由下式决定:

$$\mathbf{i} = \begin{pmatrix} \cos \omega \\ \sin \omega \cos i \\ -\sin \omega \sin i \end{pmatrix}, \quad \mathbf{j} = \begin{pmatrix} -\sin \omega \\ \cos \omega \cos i \\ -\cos \omega \sin i \end{pmatrix}, \quad \mathbf{k} = \begin{pmatrix} 0 \\ \sin i \\ \cos i \end{pmatrix}.$$

由此可以计算恒星在 $\mathbf{O}\text{-}\mathbf{xyz}$ 坐标系内的表达式.

$$\mathbf{r} = r \begin{pmatrix} \cos f \\ \sin f \\ 0 \end{pmatrix}, \quad \dot{\mathbf{r}} = \frac{h}{p} \begin{pmatrix} -\sin f \\ e + \cos f \\ 0 \end{pmatrix}$$



2.3.3 质心坐标系中的二体轨道

V 只有 z 方向分量能被测量

$$\begin{aligned} V_z &= -\frac{m}{m+M} \frac{2\pi a}{T\sqrt{1-e^2}} \left[-\sin f \sin \omega \sin i + (e + \cos f) \cos \omega \sin i \right] \\ &= -\frac{m}{m+M} \frac{2\pi a}{T} \frac{\sin i}{\sqrt{1-e^2}} \left[\cos(f + \omega) + e \cos \omega \right]. \end{aligned}$$

该式中的未知数有： m, a, T, i, e, f, ω .

其中 a, T 通过Kepler第三定律联系起来 $\frac{a^3}{T^2} = \frac{G(m+M)}{4\pi^2}$, 上式写成:

$$V_z = - \left[\frac{m^3 \sin^3 i}{(m+M)^2} \frac{2\pi G}{T(1-e^2)^{3/2}} \right]^{1/3} \left[\cos(f + \omega) + e \cos \omega \right],$$

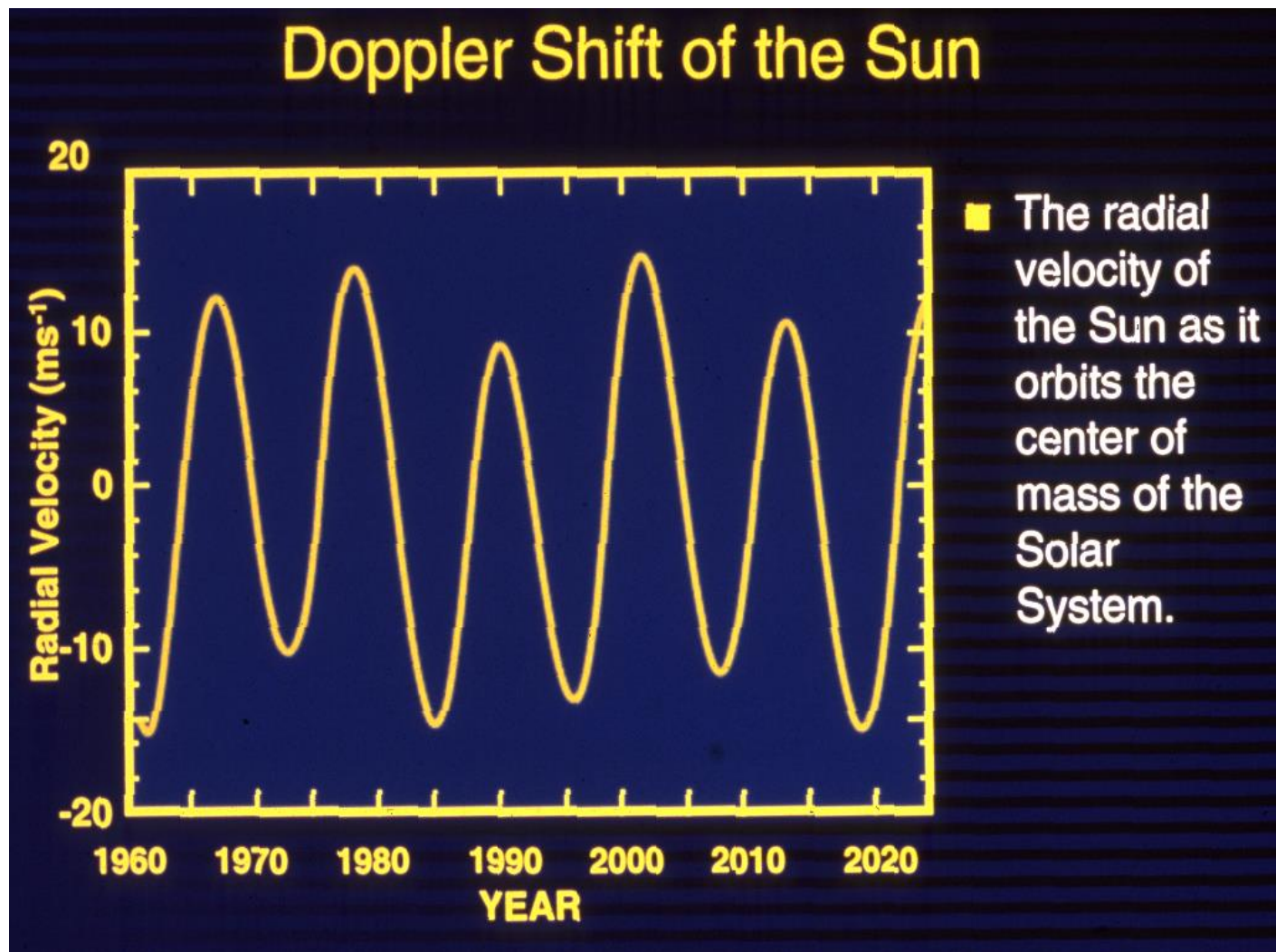
其中 $\frac{m^3 \sin^3 i}{(m+M)^2}$ 称为质量函数.

通过测量得到视向速度(与上式相差一个符号),
由此分析计算轨道. 应该注意到, f 是时间的函数,
 $m \sin i$ 不可分离.

Planet	Period (years)	Doppler Shift Of Sun (M/sec)
Earth	1.0	0.09
Jupiter	11.9	13
Uranus	84.0	0.3

2.3.3 质心坐标系中的二体轨道

因行星的存在和运动，造成太阳的运动。最大幅度约为13米/秒。



地面通过多普勒频移测量速度时，要减去观测者自身运动速度的影响。

太阳自行线速度：
220,000m/s.

地球公转线速度：
29,790m/s.

地球自转线速度
(赤道处)：
465m/s.

绕地月系质心的
线速度：
13m/s.

2.3.3 质心坐标系中的二体轨道

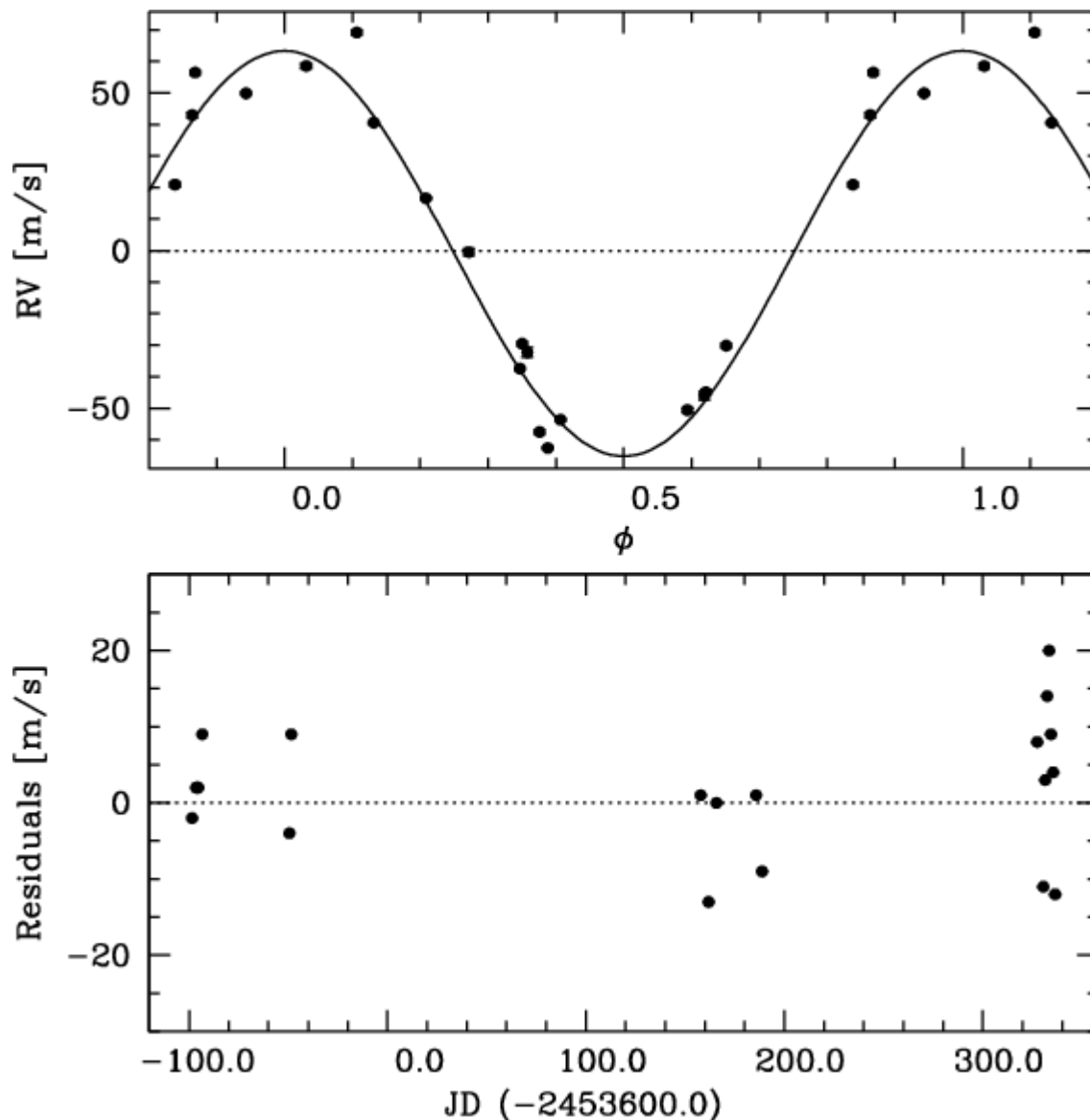
单行星系统的例子

HD 102195

该视向速度变化由一个轨道周期为4.1天的圆轨道上的行星运动引起。

上图已将多个周期内观测到的数据点都叠加到一个轨道周期内。其横坐标为周期相位；纵坐标为视向速度；实线是拟合计算的视向速度。

下图则显示了观测的视向速度值和最佳拟合之间的偏差(O - C),横坐标为儒略日。



2.3.3 质心坐标系中的二体轨道

单行星系统的例子

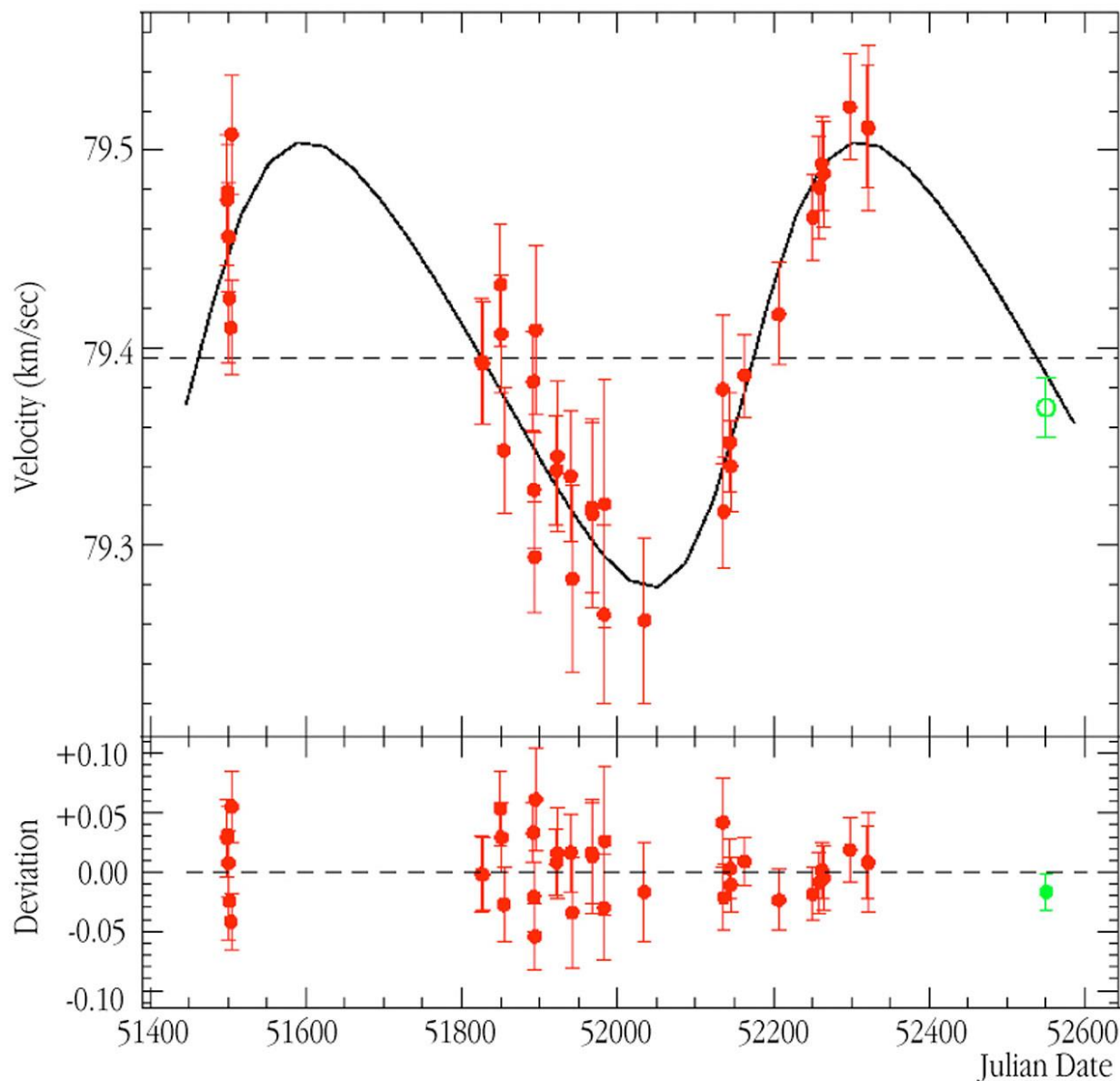
HD 47536

该视向速度曲线由一个轨道周期为712天的行星运动引起,它的轨道偏心率较大.

横坐标为 $JD - 2400000$; 纵坐标为视向速度;同时显示了测量误差;实线是拟合计算的视向速度.

下图则显示了观测到的视向速度值和最佳拟合之间的偏差 ($O - C$), 平均大约 25米/秒.

注: 更多的观测资料表明, 该系统中至少有两颗行星, 周期也不是712天!



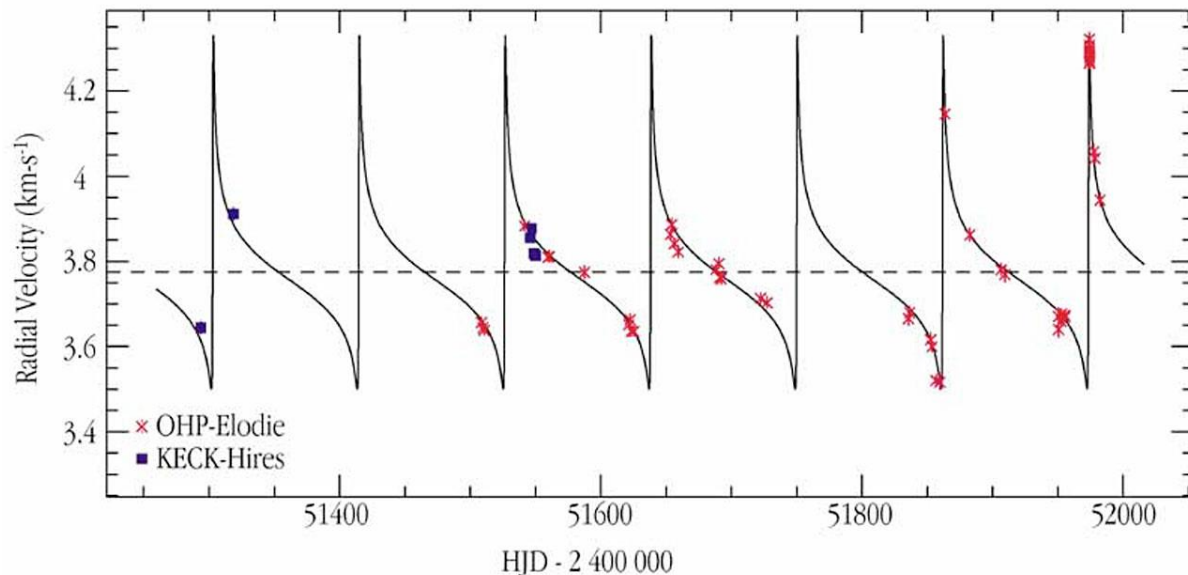
2.3.3 质心坐标系中的二体轨道

单行星系统的例子

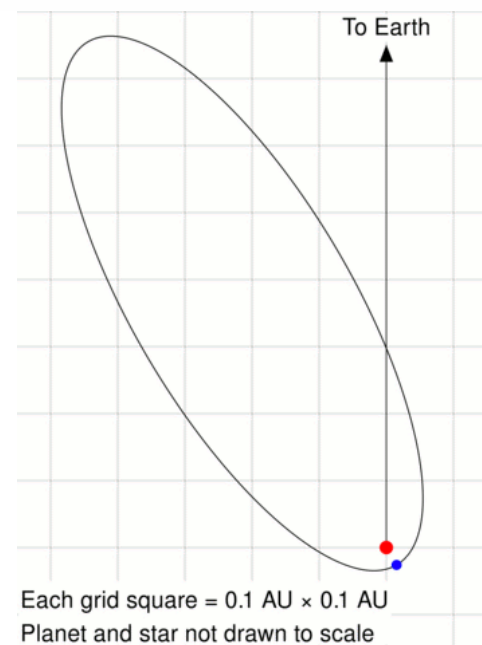
HD 80606

该视向速度由一个轨道
周期为111.5天、高轨道
偏心率、大约4倍木星
质量的行星运动引起。

横坐标为 $\text{JD} - 2400000$;
纵坐标为视向速度;不同
颜色的点表示来源于不
同望远镜的数据;实线是
拟合计算的视向速度。



a	$0.453 \pm 0.015 \text{ AU}$
e	0.9336 ± 0.0002
P	$111.436 \pm 0.003 \text{ d}$
i	$89.285 \pm 0.023^\circ$
τ	$\text{JD}2,454,424.857 \pm 0.05$



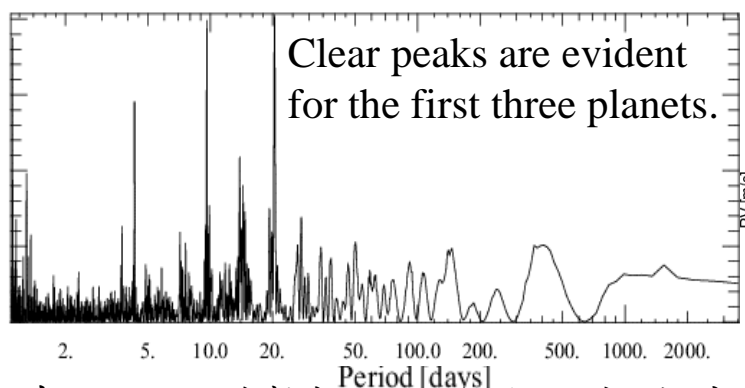
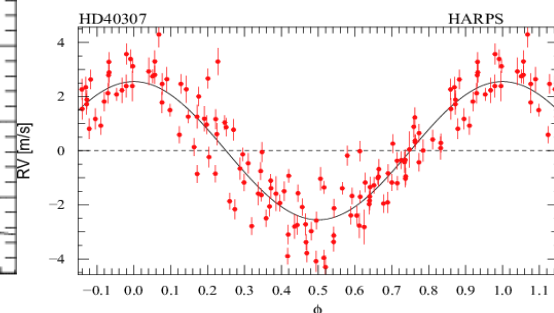
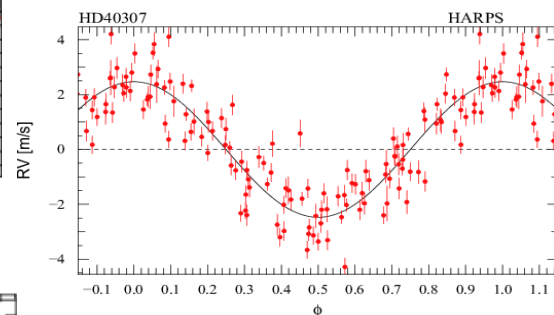
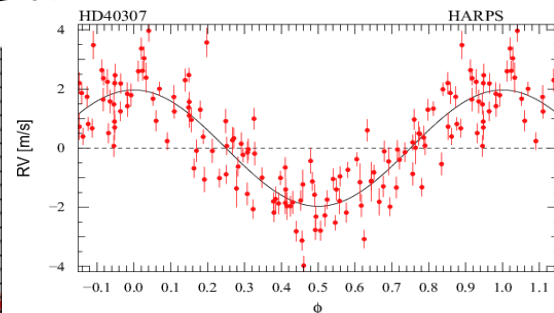
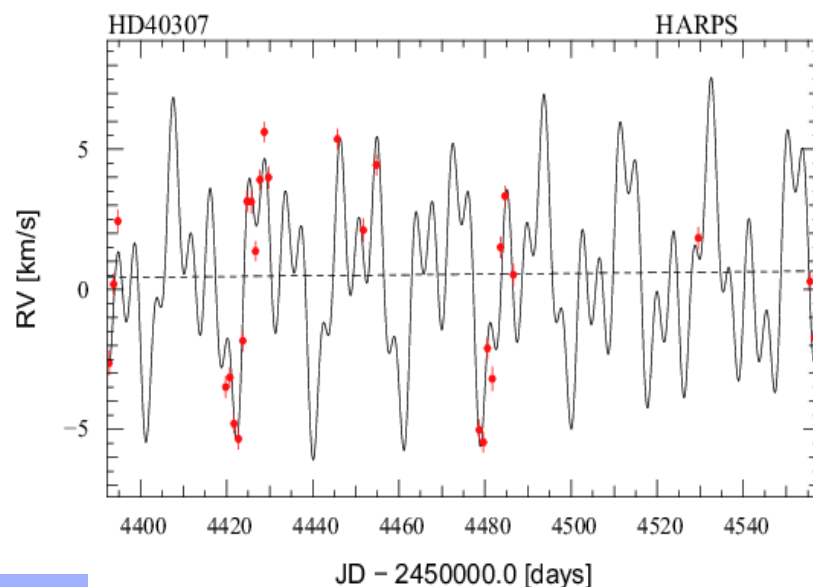
2.3.3 质心坐标系中的二体轨道

多行星系统的例子

HD 40307

该视向速度主要由三个轨道周期分别为4.2天、9.6天和20.5天的行星运动引起. 对视向速度的傅里叶分析给出非常清晰的峰.

2008年该系统中发现三颗行星。2012年，更多的数据和更多的分析再次发现三颗行星。

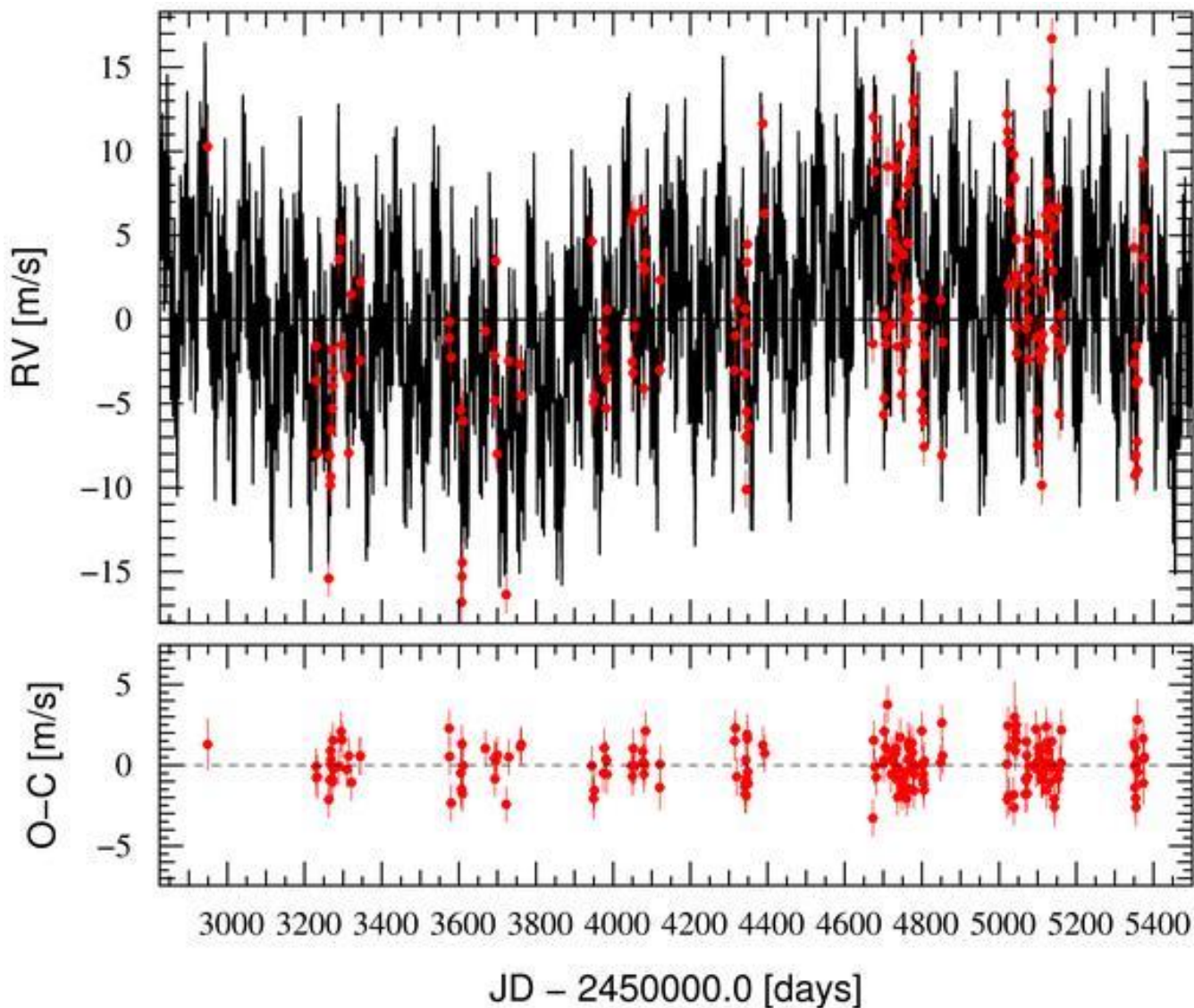


Planet	Mass (M_{\oplus})	a (AU)	Period (days)	e
b	4.0	0.0468	4.3123	0.20
c	6.6	0.0799	9.6184	0.06
d	9.5	0.1321	20.432	0.07
e	3.5	0.1886	34.62	0.15
f	5.2	0.247	51.76	0.02
g	7.1	0.600	197.8	0.29

左图是观测数据、三颗行星拟合曲线、傅里叶分析;右图为三个Kepler轨道(去除其他两颗行星效果)的拟合效果。

2.3.3 质心坐标系中的二体轨道

视向速度法发现的多行星的系统 HD 10180



上图HD 10180的
视向速度测量（红
点）及包含七个行
星的动力学模拟。

下图为模拟结果和
观测数据之差。

注：第七个行星有待
进一步证实